

## Вычисление параметров продольного движения самолета на больших углах атаки с определением показателей устойчивости короткопериодического движения.

М. А. Захаров, В. А. Леонов.

*Для подготовки решения на ПЭВМ, на основе общепринятой модели продольного движения маневренного самолета, выводится система нелинейных дифференциальных уравнений 6-го порядка, с учётом нестационарных составляющих аэродинамических коэффициентов и с включением релаксационного уравнения отрывного обтекания. Получено решение в программе "MathCad". Рассмотрены режимы полета (после отключения системы улучшения устойчивости и управляемости) при различных углах установки стабилизатора:  $\varphi(t)$  (в маневре "Кобра Пугачева") и  $\varphi(0)$  (при начальных возмущениях для анализа устойчивости движения). Выполнена линеаризация и составлена система уравнений в приращениях от опорного движения. Для нахождения критериев устойчивости введены допущения и получены дифференциальные уравнения 3-го порядка. Определены выражения аperiodической и колебательной устойчивости.*

### 1. Допущения и исходные уравнения движения.

Принимаем уравнения движения жёсткого самолёта без крена и скольжения, при отсутствии ветра относительно плоской невращающейся Земли. Гироскопический момент двигателей мал, масса самолёта постоянна. Продольное изолированное движение самолёта можно выразить динамическими уравнениями в проекциях на траекторные (скоростные) оси координат и кинематическими уравнениями [1] (см рис. 1):

$$\dot{V} = \frac{P}{m} \cdot \cos(\alpha + \varphi_p) - \frac{X \cdot \cos(\alpha) + Y \cdot \sin(\alpha)}{m} - g \cdot \sin(\Theta); \quad (1)$$

$$\dot{\Theta} = \frac{P \cdot \sin(\alpha + \varphi_p) + Y \cdot \cos(\alpha) - X \cdot \sin(\alpha) - m \cdot g \cdot \cos(\Theta)}{m \cdot V}; \quad (2)$$

$$\dot{\omega}_z = \frac{M_{R_z}}{I_z}. \quad (3)$$

$$\dot{\vartheta} = \omega_z; \quad (4)$$

$$\Theta = \vartheta - \alpha; \quad (5)$$

$$\dot{H} = V \cdot \sin \Theta, \quad (6)$$

$$\text{с включением уравнения релаксации [1, 2]: } \dot{x} = \frac{1}{\tau_1} \cdot [x_0(\alpha - \dot{\alpha} \cdot \tau_2) - x], \quad (7)$$

где:  $V$  – линейная скорость ЦМ самолета [ $\text{м} \cdot \text{с}^{-1}$ ];  $\omega_z$  – угловая скорость по оси  $Z$  [ $\text{рад} \cdot \text{с}^{-1}$ ];  $m$  – масса [ $\text{кг}$ ];  $I_z$  – момент инерции относительно оси  $Z$  [ $\text{Н} \cdot \text{м} \cdot \text{с}^2$ ];  $\varphi_p$  – угол между вектором

тяги и продольной осью самолёта [рад], принимаем  $\varphi_p = 0$ ;  $P$  – тяга двигателей [Н];  $H$  – высота полета [м];  $g$  – ускорение силы тяжести Земли, определяем по высоте полета ( $H_0$ ) при начале маневра [3],  $[m \cdot c^{-2}]$ ;  $R_3$  – средний радиус Земли,  $R_3 = 6356.767 \cdot 10^3$  [м];  $g_c$  – ускорение силы

$$\text{тяжести на поверхности Земли; } g_c = 9.80665 [m \cdot c^{-2}], g = g_c \cdot \left( \frac{R_3}{R_3 + H_0} \right)^2; \quad (8)$$

$X, Y$  – аэродинамические продольная и нормальная силы, соответственно, [Н];  $M_{R_z}$  – момент тангажа [Н · м];  $\alpha$  – угол атаки [рад];  $\Theta$  – угол наклона траектории [рад];  $\vartheta$  – угол тангажа [рад];  $X$  – внутренняя переменная состояния (безразмерная),  $x \in [0,1]$ , может рассматриваться как относительная координата по хорде крыла точки отрыва потока (или точки взрыва вихрей) с верхней поверхности крыла, зависящая от  $\dot{\alpha}$ ;  $x_0(\alpha)$  – функция, соответствующая положению точки отрыва потока (или точки взрыва вихрей) при данном угле  $\alpha$  в стационарных условиях (

$$\dot{\alpha} = 0), \text{ принимаем [4]: } x_0(\alpha) = x_{01}(\alpha) = \frac{1}{2} \{1 - \tanh[2K_x \cdot (\alpha - \alpha_x)]\}; \quad (9)$$

$K_x$  – модуль углового коэффициента касательной к функции  $x_0(\alpha)$  в точке её перегиба;  $\alpha_x$  – угол точки перегиба функции  $x_0(\alpha)$ ;  $\tau_1$  – постоянная времени [с], обусловленная инерционностью процессов развития отрывного обтекания или восстановления безотрывного обтекания (связанных с наличием  $|\dot{x}| > 0$ );  $\tau_2$  – постоянная времени [с], характеризующая эффекты затягивания развития отрывного обтекания, (связанные с наличием  $|\dot{\alpha}| > 0$ ).

$$\text{Подставим (5) в (1), (2), (6), а также продифференцируем (5): } \dot{\alpha} = \dot{\vartheta} - \dot{\Theta}; \quad (10)$$

Подставим (2), (4) в (10), имеем систему

$$\dot{V} = \frac{P}{m} \cdot \cos(\alpha + \varphi_p) - \frac{X \cdot \cos(\alpha) + Y \cdot \sin(\alpha)}{m} - g \cdot \sin(\vartheta - \alpha); \quad (11)$$

$$\dot{\alpha} = \omega_z - \frac{P \cdot \sin(\alpha + \varphi_p) + Y \cdot \cos(\alpha) - X \cdot \sin(\alpha) - m \cdot g \cdot \cos(\vartheta - \alpha)}{m \cdot V}; \quad (12)$$

$$\dot{\omega}_z = \frac{M_{R_z}}{I_z}; \quad (13)$$

$$\dot{\vartheta} = \omega_z; \quad (14)$$

$$\dot{x} = \frac{1}{\tau_1} \cdot [x_0(\alpha - \dot{\alpha} \cdot \tau_2) - x]; \quad (15)$$

$$\dot{H} = V \cdot \sin(\vartheta - \alpha). \quad (16)$$

При этом аэродинамические силы и момент выражаем [1] как:

$$X = C_x \cdot q \cdot S; \quad Y = C_y \cdot q \cdot S; \quad M_{R_z} = m_z \cdot q \cdot S \cdot b_A, \quad (17)$$

где:  $S$  – площадь крыла  $[M^2]$ ;  $b_A$  – средняя аэродинамическая хорда крыла  $[M]$ ;  $q$  – скоростной напор  $[Па]$ ;  $\rho$  – плотность воздуха на данной высоте  $[кг \cdot м^{-3}]$ , принимаем [5]:

$$\rho = 1.2257 \cdot \frac{20000 - H}{20000 + H}; \quad q = \frac{\rho \cdot V^2}{2}. \quad (18)$$

$C_x, C_y, m_z$  – аэродинамические коэффициенты продольной силы, нормальной силы и момента тангажа, соответственно (безразмерные) [4]:

$$\left. \begin{aligned} C_x &= C_{x_{ст}}(\alpha, \varphi) + C_{x_*}^{\bar{\alpha}} \cdot \bar{\alpha} + C_{x_z}^{\bar{\omega}_z} \cdot \bar{\omega}_z; \\ C_y &= C_{y_{ст}}(\alpha, \varphi) + C_{y_*}^{\bar{\alpha}} \cdot \bar{\alpha} + C_{y_z}^{\bar{\omega}_z} \cdot \bar{\omega}_z + C_{y_{c.o.H}}(\alpha, x); \\ m_z &= m_{z_{ст}}(\alpha, \varphi) + m_{z_*}^{\bar{\alpha}} \cdot \bar{\alpha} + m_{z_z}^{\bar{\omega}_z} \cdot \bar{\omega}_z + m_{z_{c.o.H}}(\alpha, x), \end{aligned} \right\} \quad (19)$$

где:  $\bar{\alpha}, \bar{\omega}_z$  – безразмерные производные угла атаки и угловой скорости тангажа (соответственно):

$$\bar{\alpha} = \frac{\dot{\alpha} \cdot b_A}{V}; \quad \bar{\omega}_z = \frac{\omega_z \cdot b_A}{V}, \quad (20)$$

$C_{x_{ст}}(\alpha, \varphi), C_{y_{ст}}(\alpha, \varphi), m_{z_{ст}}(\alpha, \varphi)$  – статические составляющие коэффициентов продольной силы,

нормальной силы и момента тангажа;  $\varphi$  – угол отклонения стабилизатора;  $C_{y_{c.o.H}}(\alpha, x),$

$m_{z_{c.o.H}}(\alpha, x)$  – нестационарные составляющие коэффициентов нормальной силы и момента танга-

жа, соответствующие структуре обтекания (нелинейное представление);  $C_{x_z}^{\bar{\omega}_z}, C_{y_z}^{\bar{\omega}_z}, m_{z_z}^{\bar{\omega}_z}$  – постоян-

ные вращательные аэродинамические производные (безразмерные);  $C_{x_*}^{\bar{\alpha}}, C_{y_*}^{\bar{\alpha}}, m_{z_*}^{\bar{\alpha}}$  – нестационар-

ные аэродинамические производные (безразмерные), учитывающие нестационарные эффекты, не

связанные с отрывным обтеканием и взрывом вихрей на крыле и фюзеляже (например, обуслов-

ленные горизонтальным оперением [6]). В соответствии с [4]:  $C_{y_*}^{\bar{\alpha}} = \lim_{\omega_{в.к.} \rightarrow \infty} (C_{y_z}^{\bar{\omega}_z} + C_{y_*}^{\bar{\alpha}})_{в.к.} - C_{y_z}^{\bar{\omega}_z},$

$m_{z_*}^{\bar{\alpha}} = \lim_{\omega_{в.к.} \rightarrow \infty} (m_{z_z}^{\bar{\omega}_z} + m_{z_*}^{\bar{\alpha}})_{в.к.} - m_{z_z}^{\bar{\omega}_z}$  ( $C_{y_*}^{\bar{\alpha}}, m_{z_*}^{\bar{\alpha}}$  – нестационарные аэродинамические производные (безразмерные), полученные при испытаниях и включающие все указанные нестационарные эффекты;

$\lim_{\omega_{в.к.} \rightarrow \infty} (C_{y_z}^{\bar{\omega}_z} + C_{y_*}^{\bar{\alpha}})_{в.к.}, \lim_{\omega_{в.к.} \rightarrow \infty} (m_{z_z}^{\bar{\omega}_z} + m_{z_*}^{\bar{\alpha}})_{в.к.}$  – комплексы вращательных и нестационарных аэродина-

мических производных, полученные в аэротрубе при испытаниях по методу вынужденных колеба-

ний при большой частоте колебаний  $\omega_{в.к.}$ ).

Как показывает пересчет теоретических коэффициентов из скоростной системы (см. формулу (6) в [2]) в связанную, пересчитанный коэффициент по продольной оси, учитывающий структуру обтекания, равен нулю. Поэтому считаем, что нестационарная составляющая коэффициента продольной силы, соответствующая структуре обтекания, равна нулю. Построение динамической модели составляющих  $C_{y_{c.o.H}}(\alpha, x)$  и  $m_{z_{c.o.H}}(\alpha, x)$  будем проводить на основе нелинейных составляющих аэродинамических коэффициентов, предложенных в [1] исходя из линейной теории кавитации:

$$\left. \begin{aligned} C_{y_H}(\alpha, x) &= \frac{\pi}{2} \sin(\alpha) \cdot (1 + \sqrt{x})^2; \\ m_{z_H}(\alpha, x) &= \frac{\pi}{2} \sin(\alpha) \cdot (1 + \sqrt{x})^2 \cdot \frac{5(1 - \sqrt{x})^2 + 4\sqrt{x}}{16} = \frac{5\pi}{32} \cdot \sin(\alpha) \cdot (1 + \sqrt{x})^2 \cdot (1 - 1.2\sqrt{x} + x). \end{aligned} \right\} (21)$$

Поскольку нелинейные функции  $C_{y_H}(\alpha, x)$ ,  $m_{z_H}(\alpha, x)$  включают стационарные и нестационарные составляющие, то приращения  $\Delta C_{y_H}(\alpha, x)$ ,  $\Delta m_{z_H}(\alpha, x)$  нелинейных функций, относительно функций стационарного режима (при  $x = x_0(\alpha)$ ), представляют собой нестационарные составляющие коэффициентов нормальной силы и момента тангажа, соответствующие структуре обтекания, при нелинейном представлении [4]:

$$\left. \begin{aligned} C_{y_{c.o.H}}(\alpha, x) &= \Delta C_{y_H}(\alpha, x) = C_{y_H}(\alpha, x) - C_{y_H}(\alpha, x_0(\alpha)) = \frac{\pi}{2} \sin(\alpha) \cdot \left[ (1 + \sqrt{x})^2 - (1 + \sqrt{x_0(\alpha)})^2 \right]; \\ m_{z_{c.o.H}}(\alpha, x) &= \Delta m_{z_H}(\alpha, x) = m_{z_H}(\alpha, x) - m_{z_H}(\alpha, x_0(\alpha)) = \frac{5 \cdot \pi}{32} \cdot \sin(\alpha) \cdot \\ &\cdot \left[ (1 + \sqrt{x})^2 \cdot (1 - 1.2\sqrt{x} + x) - (1 + \sqrt{x_0(\alpha)})^2 \cdot (1 - 1.2\sqrt{x_0(\alpha)} + x_0(\alpha)) \right]. \end{aligned} \right\} (22)$$

Подставляем (20) в (19). Измененные (19) подставим затем в (17), а измененные (17) - далее в (11) - (13). Так что измененное уравнение (12) имеет вид:

$$\dot{\alpha} = \omega_z - \frac{1}{m \cdot V} \cdot \left\{ P \cdot \sin(\alpha + \varphi_p) - m \cdot g \cdot \cos(\vartheta - \alpha) + q \cdot S \cdot \left[ \left[ C_{y_{cr}}(\alpha, \varphi) + C_{y_*}^{\bar{\alpha}} \cdot \frac{b_A}{V} \cdot \dot{\alpha} + C_{y}^{\bar{\omega}_z} \cdot \frac{b_A}{V} \cdot \omega_z + C_{y_{c.o.H}}(\alpha, x) \right] \cdot \cos(\alpha) - \left[ C_{x_{cr}}(\alpha, \varphi) + C_{x_*}^{\bar{\alpha}} \cdot \frac{b_A}{V} \cdot \dot{\alpha} + C_{x}^{\bar{\omega}_z} \cdot \frac{b_A}{V} \cdot \omega_z \right] \cdot \sin(\alpha) \right] \right\}.$$

Отсюда найдем  $\dot{\alpha}$  и обозначим получающееся выражение в правой части, не содержащее неизвестные производные, через "F":

$$\dot{\alpha} = \frac{1}{m \cdot V + \frac{q \cdot S \cdot b_A}{V} \cdot \left( C_{y_*}^{\bar{\alpha}} \cdot \cos(\alpha) - C_{x_*}^{\bar{\alpha}} \cdot \sin(\alpha) \right)} \cdot \left\{ m \cdot V \cdot \omega_z - \left[ P \cdot \sin(\alpha + \varphi_p) - m \cdot g \cdot \cos(\vartheta - \alpha) + q \cdot S \cdot \left[ \left[ C_{y_{cr}}(\alpha, \varphi) + C_{y}^{\bar{\omega}_z} \cdot \frac{b_A}{V} \cdot \omega_z + C_{y_{c.o.H}}(\alpha, x) \right] \cdot \cos(\alpha) - \left[ C_{x_{cr}}(\alpha, \varphi) + C_{x}^{\bar{\omega}_z} \cdot \frac{b_A}{V} \cdot \omega_z \right] \cdot \sin(\alpha) \right] \right] \right\} = F. \quad (23)$$

Таким образом, подставляя  $F$  вместо  $\dot{\alpha}$  в уравнения (15) и измененные (11), (13), окончательно имеем (вместе с (14), (16), (23)) нелинейную систему дифференциальных уравнений (которая вместе с (8), (9), (18), (22) может быть решена на ПЭВМ численными методами):

$$\dot{V} = \frac{P}{m} \cdot \cos(\alpha + \varphi_p) - g \cdot \sin(\vartheta - \alpha) + \frac{q \cdot S}{m} \cdot \left\{ \left[ C_{y_{ct}}(\alpha, \varphi) + C_{y_*}^{\bar{\alpha}} \cdot \frac{b_A}{V} \cdot F + C_{y_z}^{\bar{\omega}_z} \cdot \frac{b_A}{V} \cdot \omega_z + C_{y_{c.o.H}}(\alpha, x) \right] \cdot \sin(\alpha) - \left[ C_{x_{ct}}(\alpha, \varphi) + C_{x_*}^{\bar{\alpha}} \cdot \frac{b_A}{V} + F \cdot C_{x_z}^{\bar{\omega}_z} \cdot \frac{b_A}{V} \cdot \omega_z \right] \cdot \cos(\alpha) \right\}; \quad (24)$$

$$\dot{\alpha} = F;$$

(25)

$$\dot{\omega}_z = \frac{q \cdot S \cdot b_A}{I_z} \cdot \left[ m_{z_{ct}}(\alpha, \varphi) + m_{z_*}^{\bar{\alpha}} \cdot \frac{b_A}{V} \cdot F + m_{z_z}^{\bar{\omega}_z} \cdot \frac{b_A}{V} \cdot \omega_z + m_{z_{c.o.H}}(\alpha, x) \right]; \quad (26)$$

$$\dot{\vartheta} = \omega_z;$$

(27)

$$\dot{x} = \frac{1}{\tau_1} \cdot [x_0(\alpha - F \cdot \tau_2) - x];$$

(28)

$$\dot{H} = V \cdot \sin(\vartheta - \alpha).$$

(29)

## 2. Исходные данные в программе.

Рассмотрим решение на примере с данными иллюстративного характера. Для нахождения коэффициентов  $C_{x_{ct}}(\alpha, \varphi)$ ,  $C_{y_{ct}}(\alpha, \varphi)$ ,  $m_{z_{ct}}(\alpha, \varphi)$ , соответствующих углу  $\varphi(t)$ , используем материалы [1], где приведены графические зависимости  $C_{y_{ct1}}(\alpha, \varphi_1)$ ,  $C_{y_{ct2}}(\alpha, \varphi_2)$ ,  $m_{z_{ct1}}(\alpha, \varphi_1)$ ,  $m_{z_{ct2}}(\alpha, \varphi_2)$  (соответственно для углов  $\varphi_1 = -30^\circ$ ,  $\varphi_2 = -15^\circ$ ). Представляем:

$$\left. \begin{aligned} C_{x_{ct}}(\alpha, \varphi) &= C_{x_{ct, \varphi=0}}(\alpha) + C_x^\varphi(\alpha) \cdot \varphi; & C_{y_{ct}}(\alpha, \varphi) &= C_{y_{ct, \varphi=0}}(\alpha) + C_y^\varphi(\alpha) \cdot \varphi; \\ m_{z_{ct}}(\alpha, \varphi) &= m_{z_{ct, \varphi=0}}(\alpha) + m_z^\varphi(\alpha) \cdot \varphi, \end{aligned} \right\} (30)$$

где:  $C_{x_{ct, \varphi=0}}(\alpha)$ ,  $C_{y_{ct, \varphi=0}}(\alpha)$ ,  $m_{z_{ct, \varphi=0}}(\alpha)$  – статические составляющие, соответствующие отклонению стабилизатора на угол  $\varphi = 0$ ;  $C_x^\varphi(\alpha)$ ,  $C_y^\varphi(\alpha)$ ,  $m_z^\varphi(\alpha)$  – статические производные. Из (30) при данных  $\varphi_1$ ,  $\varphi_2$  и  $C_{y_{ct1}}(\alpha, \varphi_1)$ ,  $m_{z_{ct1}}(\alpha, \varphi_1)$ ,  $C_{y_{ct2}}(\alpha, \varphi_2)$ ,  $m_{z_{ct2}}(\alpha, \varphi_2)$  находим:

$$C_y^\varphi(\alpha) = \frac{C_{y_{ct1}}(\alpha, \varphi_1) - C_{y_{ct2}}(\alpha, \varphi_2)}{\varphi_1 - \varphi_2}; \quad C_{y_{ct, \varphi=0}}(\alpha) = \frac{\varphi_1 \cdot C_{y_{ct2}}(\alpha, \varphi_2) - \varphi_2 \cdot C_{y_{ct1}}(\alpha, \varphi_1)}{\varphi_1 - \varphi_2}; \quad (31)$$

$$m_z^\varphi(\alpha) = \frac{m_{z_{ct1}}(\alpha, \varphi_1) - m_{z_{ct2}}(\alpha, \varphi_2)}{\varphi_1 - \varphi_2}; \quad m_{z_{ct, \varphi=0}}(\alpha) = \frac{\varphi_1 \cdot m_{z_{ct2}}(\alpha, \varphi_2) - \varphi_2 \cdot m_{z_{ct1}}(\alpha, \varphi_1)}{\varphi_1 - \varphi_2}. \quad (32)$$

Таким образом, введя в память ПЭВМ исходные функции  $C_{y_{ct1}}(\alpha, \varphi_1)$ ,  $C_{y_{ct2}}(\alpha, \varphi_2)$ ,  $m_{z_{ct1}}(\alpha, \varphi_1)$ ,  $m_{z_{ct2}}(\alpha, \varphi_2)$  и проводя операции (31), (32), имеем статические характеристики

$C_{y_{ст.φ=0}}(\alpha)$ ,  $m_{z_{ст.φ=0}}(\alpha)$  и производные  $C_y^φ(\alpha)$ ,  $m_z^φ(\alpha)$  (см. графики рис. 2, 3). Вводим функцию  $C_{x_{ст.φ=0}}(\alpha)$  (график которой приведен на рис. 4), полученную пересчетом (приблизенно) из данных о коэффициентах  $C_{ya}(\alpha)$  и  $C_{xa}(\alpha)$  [1]; при этом считаем, что  $C_x^φ(\alpha) = 0$ . Вычисление составляющих  $C_{x_{ст}}(\alpha, φ)$ ,  $C_{y_{ст}}(\alpha, φ)$ ,  $m_{z_{ст}}(\alpha, φ)$  осуществляется по введенным формулам (30) при задании программного управляющего воздействия  $φ(t)$ . Вводим функции (8), (9), (18), (22), (23) (и по данным трубных испытаний и расчетов) значения параметров  $C_{x_*}^{\bar{\alpha}}$ ,  $C_{y_*}^{\bar{\alpha}}$ ,  $m_{z_*}^{\bar{\alpha}}$ ,  $C_{x_*}^{\bar{\omega}_z}$ ,  $C_{y_*}^{\bar{\omega}_z}$ ,  $m_{z_*}^{\bar{\omega}_z}$ ,  $\tau_1$ ,  $\tau_2$ ,  $\alpha_x$ ,  $K_x$ . Находим решение дифференциальных уравнений (24) – (29) в программе “MathCAD”, считая, что система улучшения устойчивости и управляемости отключена, и выбирая начальные значения параметров (при  $t=0$ ) исходя из условий сбалансированности ( $\sum F = 0$ ,  $\sum M_z = 0$ ) для горизонтального полета:  $V(0) = 138 \text{ м} \cdot \text{с}^{-1}$ ,  $\alpha(0) = 6.28^\circ$ ,  $\vartheta(0) = 6.28^\circ$ ,  $\varphi(0) = 0.69^\circ$ ,  $\omega_z(0) = 0$ ,  $x(0) = 0.96$ ,  $H(0) = 5000 \text{ м}$  ( $\sum F$ ,  $\sum M_z$  – суммы внешних и реактивных сил и моментов, действующих на самолет).

### 3. Анализ решений.

Получаем решения при различных законах управления  $φ(t)$  и изображаем их на рис. 5 – 8. Помимо решаемых параметров на этих рисунках показаны параметры перегрузки  $n_x$ ,  $n_y$ , которые рассчитаны по следующим формулам:

$$\left. \begin{aligned} n_x &= \frac{1}{g_c} \cdot (\dot{V} \cdot \cos(\alpha) + g \cdot \sin(\vartheta) + V \cdot \dot{\alpha} \cdot \sin(\alpha)); \\ n_y &= \frac{1}{g_c} \cdot (-\dot{V} \cdot \sin(\alpha) + g \cdot \cos(\vartheta) + V \cdot \dot{\alpha} \cdot \cos(\alpha)). \end{aligned} \right\} \quad (33)$$

Рис. 5 отражает режим параметров при  $φ = φ(0)$  (соответствует гипотетическому невозмущенному сбалансированному горизонтальному полету). На рис. 6 приведен график переменных при изменении угла  $φ$ , соответствующем [7] проведению маневра “Кобра Пугачева”. В процессе моделирования этого маневра найдены подходящие значения  $\tau_1 = 0.13 \text{ с}$ ,  $\tau_2 = 0.1 \text{ с}$ , при которых параметры движения в решении наиболее полно отвечают экспериментальным данным [7]. На рис. 7 приведены графики переменных при изменении начального условия  $\alpha(0) = 6.5^\circ$ , а на рис. 8 – при изменении начального условия  $V(0) = 137 \text{ м} \cdot \text{с}^{-1}$ . Из рис. 7 – 8 видно, что значения параметров полета приходят к установившимся значениям (устанавливается движение с неизменным углом атаки) практически к 40 сек. полета.

Для решения задач устойчивости и получения приближенных уравнений линеаризируем уравнения движения при помощи метода малых возмущений [8]. Тогда устойчивость собственного

опорного движения (без управления) определяется матрицей  $\mathbf{A}$  линеаризованной системы одно-родных уравнений:

$$\mathbf{A} = \begin{pmatrix} \frac{\partial \dot{V}}{\partial V} & \frac{\partial \dot{V}}{\partial \alpha} & \frac{\partial \dot{V}}{\partial \omega_z} & \frac{\partial \dot{V}}{\partial \vartheta} & \frac{\partial \dot{V}}{\partial x} & \frac{\partial \dot{V}}{\partial H} \\ \frac{\partial \dot{\alpha}}{\partial V} & \frac{\partial \dot{\alpha}}{\partial \alpha} & \frac{\partial \dot{\alpha}}{\partial \omega_z} & \frac{\partial \dot{\alpha}}{\partial \vartheta} & \frac{\partial \dot{\alpha}}{\partial x} & \frac{\partial \dot{\alpha}}{\partial H} \\ \frac{\partial \dot{\omega}_z}{\partial V} & \frac{\partial \dot{\omega}_z}{\partial \alpha} & \frac{\partial \dot{\omega}_z}{\partial \omega_z} & \frac{\partial \dot{\omega}_z}{\partial \vartheta} & \frac{\partial \dot{\omega}_z}{\partial x} & \frac{\partial \dot{\omega}_z}{\partial H} \\ \frac{\partial \dot{\vartheta}}{\partial V} & \frac{\partial \dot{\vartheta}}{\partial \alpha} & \frac{\partial \dot{\vartheta}}{\partial \omega_z} & \frac{\partial \dot{\vartheta}}{\partial \vartheta} & \frac{\partial \dot{\vartheta}}{\partial x} & \frac{\partial \dot{\vartheta}}{\partial H} \\ \frac{\partial \dot{x}}{\partial V} & \frac{\partial \dot{x}}{\partial \alpha} & \frac{\partial \dot{x}}{\partial \omega_z} & \frac{\partial \dot{x}}{\partial \vartheta} & \frac{\partial \dot{x}}{\partial x} & \frac{\partial \dot{x}}{\partial H} \\ \frac{\partial \dot{H}}{\partial V} & \frac{\partial \dot{H}}{\partial \alpha} & \frac{\partial \dot{H}}{\partial \omega_z} & \frac{\partial \dot{H}}{\partial \vartheta} & \frac{\partial \dot{H}}{\partial x} & \frac{\partial \dot{H}}{\partial H} \end{pmatrix}; \quad (34)$$

где:  $\frac{\partial \dot{V}}{\partial r}$ ,  $\frac{\partial \dot{\alpha}}{\partial r}$ ,  $\frac{\partial \dot{\omega}_z}{\partial r}$ ,  $\frac{\partial \dot{\vartheta}}{\partial r}$ ,  $\frac{\partial \dot{x}}{\partial r}$ ,  $\frac{\partial \dot{H}}{\partial r}$  – частные производные правых частей выражений (соответственно) (24) – (29) по параметру  $r$  ( $r = V, \alpha, \omega_z, \vartheta, x, H$ ).

Находим действительные части (Re) собственных значений матрицы  $\mathbf{A}$  (корней характеристического уравнения):  $\lambda_0, \lambda_1, \lambda_2 \dots \lambda_5$ . На рис. 9-11 приведены графики  $\text{Re}(\lambda_0), \text{Re}(\lambda_1) \dots \text{Re}(\lambda_5)$  соответствующих движений рис. 5, 7, 8 (рис. 9 соответствует рис. 5, рис.10–рис.7, рис.11–рис.8). Поскольку коэффициенты матрицы  $\mathbf{A}$  являются переменными, то и собственные значения матрицы  $\mathbf{A}$  также являются функциями времени. Как видно из рис. 10 – 11, действительные части собственных значений матриц для указанных процессов (рис. 7–8) становятся к 40 сек. отрицательными. То есть последние соответствующие движения приходят к устойчивому установившемуся движению. Рассмотрим в качестве опорного движения это устойчивое почти прямолинейное движение (с начальными параметрами  $V(0) = 69 \text{ м} \cdot \text{с}^{-1}$ ,  $\alpha(0) = 41.5^\circ$ ,  $\omega_z(0) = 0$ ,  $\vartheta(0) = 16.61^\circ$ ,  $\varphi(0) = 0.69^\circ$ ,  $x(0) = 0.689$ ,  $H(0) = 5000 \text{ м}$ ), см. рис. 12. Решение системы уравнений в прираще-

$$\text{ниях} \left( \frac{d}{dt} \Delta V \quad \frac{d}{dt} \Delta \alpha \quad \frac{d}{dt} \Delta \omega_z \quad \frac{d}{dt} \Delta \vartheta \quad \frac{d}{dt} \Delta x \quad \frac{d}{dt} \Delta H \right)^T = \mathbf{A} \cdot (\Delta V \quad \Delta \alpha \quad \Delta \omega_z \quad \Delta \vartheta \quad \Delta x \quad \Delta H)^T \quad (35)$$

(от опорного движения рис. 12 при возмущениях  $\Delta V = 0$ ,  $\Delta \alpha = 0$ ,  $\Delta \omega_z = 0$ ,  $\Delta \vartheta = 5.7^\circ$ ,  $\Delta x = 0$ ,  $\Delta H = 0$ ) приведено на рис. 13. Система уравнений в приращениях от указанного опорного движения имеет матрицу  $\mathbf{A}$  с почти постоянными коэффициентами, а действительные части собственных значений этой матрицы - отрицательные (см. рис. 14, где приведены действительные части собственных значений матрицы  $\mathbf{A}$  для режима рис. 12).

Таким образом, видно, что опорное горизонтальное движение, приведенное на рис. 5 – неустойчивое (действительные части собственных значений – положительны). Этому неустойчивому состоянию соответствует точка “В” на рис. 15, где приведен график  $m_z(\alpha)$  при  $\varphi = \varphi(0)$ . В точке

“В”  $m_z(\alpha_B) = 0$ , производная  $\frac{\partial m_z(\alpha_B)}{\partial \alpha} > 0$  (статически неустойчивое положение). При возмущениях, направленных в сторону роста угла атаки (например, при увеличении  $\alpha(0)$ ), появляется избыточный момент тангажа, происходит изменение режима с дальнейшим увеличением угла атаки и переходом в точку “С” (устойчивое положение с параметрами рис. 12). В точке “С” (где

$m_z(\alpha_C) = 0$ ,  $\frac{\partial m_z(\alpha_C)}{\partial \alpha} < 0$ ) наблюдается статическая устойчивость. Однако из рис. 12 - 14 следует,

что мы имеем дело с устойчивостью по части переменных [9]. В этом устойчивом состоянии непрерывно изменяется высота полета (т.е.  $\Delta H \rightarrow \infty$  при  $t \rightarrow \infty$ ). Это и понятно, так как при  $\vartheta \neq \alpha$  и

постоянных  $V$ ,  $\alpha$ ,  $\vartheta$  производная  $\frac{dH}{dt}$  никогда не равна нулю (см. (29)).

При возмущениях, направленных в сторону уменьшения угла атаки (см. рис. 15), произойдет изменение режима (движения) с переходом из точки “В” в другое устойчивое положение (в точку “D”, которая на рис. 15 не показана). Угол атаки точки “D” составляет  $\alpha_D \approx \alpha_C - 180^\circ$ . При этом

$m_z(\alpha_D) = 0$ ,  $\frac{\partial m_z(\alpha_D)}{\partial \alpha} < 0$ . Однако движение от точки “В” к точке “D” мы не исследуем и не показываем, в связи с отсутствием данных по аэродинамическим коэффициентам (в том числе

$m_{z_{ct}}(\alpha, \varphi)$ ) на отрицательных углах  $\alpha$ .

#### 4. *Определение показателей устойчивости короткопериодического движения.*

Аналитическое выражение коэффициентов матрицы **A** получено машинным дифференцированием, является чрезвычайно сложным и непригодно для вывода условий устойчивости. Для выработки этих условий необходимы упрощения. Поскольку нас интересует короткопериодическое движение самолета, которое проявляется на рис. 7, 8 в виде колебаний параметров  $\alpha$  и  $\vartheta$  с малым периодом (при большом периоде колебаний  $V$ ), то можно принять, что за время периода колебаний  $\alpha$  и  $\vartheta$  скорость и высота не изменяются. Т.е. будем считать  $\dot{V} = 0$ ,  $\dot{H} = 0$ . Тогда частные производные, содержащиеся в первой и последней строках матрицы **A**, равны нулю. Кроме того, для еще большего упрощения и снижения порядка уравнений, возможно [10] пренебрежение влиянием силы тяжести ( $g \approx 0$ ) на возмущенное движение летательного аппарата. В этом слу-

чае уравнения (23) – (29) не зависят от  $\vartheta$ , и частные производные  $\frac{\partial \dot{\alpha}}{\partial \vartheta}$ ,  $\frac{\partial \dot{\omega}_z}{\partial \vartheta}$ ,  $\frac{\partial \dot{x}}{\partial \vartheta}$  равны нулю.

В результате матрица  $\mathbf{A}$  вырождается в матрицу  $3 \times 3$ :

$$\mathbf{A} = \begin{pmatrix} \frac{\partial \dot{\alpha}}{\partial \alpha} & \frac{\partial \dot{\alpha}}{\partial \omega_z} & \frac{\partial \dot{\alpha}}{\partial x} \\ \frac{\partial \dot{\omega}_z}{\partial \alpha} & \frac{\partial \dot{\omega}_z}{\partial \omega_z} & \frac{\partial \dot{\omega}_z}{\partial x} \\ \frac{\partial \dot{x}}{\partial \alpha} & \frac{\partial \dot{x}}{\partial \omega_z} & \frac{\partial \dot{x}}{\partial x} \end{pmatrix}. \quad (36)$$

Соответственно из дифференциальных уравнений (24) – (29) будут использованы только (25), (26), (28). Поскольку величина  $\xi = x - x_0(\alpha)$  (37)

в указанных условиях (см. рис. 7 – 8) мала, то вместо выражений (22), (28) примем [1, 2, 4] упрощенные линейные выражения относительно переменной  $\xi$ , соответственно:

$$C_{y_{c.o.n}}(\alpha, x) = C_y^x \cdot \xi; \quad m_{z_{c.o.n}}(\alpha, x) = m_z^x \cdot \xi; \quad (38)$$

$$\dot{\xi} = -\frac{1}{\tau_1} \cdot \xi - \frac{\tau_1 + \tau_2}{\tau_1} \cdot \frac{dx_0(\alpha)}{d\alpha} \cdot F, \quad (39)$$

где:  $C_y^x$ ,  $m_z^x$  – производные коэффициентов нормальной силы и момента тангажа по  $x$ .

Поскольку приращения (22) зависят от величины  $\xi = \Delta x$ , то при малой  $\xi$  имеем:

$$\left. \begin{aligned} C_y^x &= \lim_{\Delta x \rightarrow 0} \frac{\Delta C_{yH}(\alpha, x)}{\Delta x} = \frac{\partial C_{yH}(\alpha, x \rightarrow x_0(\alpha))}{\partial x}; \\ m_z^x &= \lim_{\Delta x \rightarrow 0} \frac{\Delta m_{zH}(\alpha, x)}{\Delta x} = \frac{\partial m_{zH}(\alpha, x \rightarrow x_0(\alpha))}{\partial x}. \end{aligned} \right\} \quad (40)$$

Из (21), (40) находим:

$$\left. \begin{aligned} C_y^x &\approx \frac{\pi}{2} \sin(\alpha) \cdot \left(1 + \frac{1}{x_0(\alpha)}\right); \\ m_z^x &\approx \frac{5\pi}{32} \cdot \sin(\alpha) \cdot \left[ \left(1 + \frac{1}{x_0(\alpha)}\right) \cdot (1 - 1.2\sqrt{x_0(\alpha)} + x_0(\alpha)) + \left(1 - \frac{0.6}{\sqrt{x_0(\alpha)}}\right) \cdot (1 + \sqrt{x_0(\alpha)})^2 \right]. \end{aligned} \right\} \quad (41)$$

Для получения компактного вида уравнений, введем новые обозначения и переведем аэродинамические коэффициенты из связанной системы в скоростную:

$$\left. \begin{aligned} \tau &= \frac{m \cdot V}{q \cdot S}; \quad \mu = \frac{\tau \cdot V}{b_A}; \quad C_{ya_*}^{\bar{\alpha}} = C_{y_*}^{\bar{\alpha}} \cdot \cos(\alpha) - C_{x_*}^{\bar{\alpha}} \cdot \sin(\alpha); \quad c_p = \frac{P}{q \cdot S}; \\ C_{ya_*}^{\bar{\omega}_z} &= C_{y_*}^{\bar{\omega}_z} \cdot \cos(\alpha) - C_{x_*}^{\bar{\omega}_z} \cdot \sin(\alpha); \quad C_{ya_*}^x = C_{y_*}^x \cdot \cos(\alpha); \quad \mu_c = \mu + C_{ya_*}^{\bar{\alpha}}; \\ C_{ya_{cr}}(\alpha, \varphi) &= C_{y_{cr}}(\alpha, \varphi) \cdot \cos(\alpha) - C_{x_{cr}}(\alpha, \varphi) \cdot \sin(\alpha); \end{aligned} \right\} \quad (42)$$

$$C_{y_{x_{cr}}}(\alpha, \varphi) = c_p \cdot \sin(\alpha + \varphi_p) + C_{y_{a_{cr}}}(\alpha, \varphi); \quad \eta = \frac{\mu - C_{y_a}^{\bar{\omega}_z}}{\mu + C_{y_{a_*}}^{\bar{\alpha}}}$$

$$F = \frac{1}{m \cdot V + \frac{q \cdot S \cdot b_A}{V} \cdot (C_{y_*}^{\bar{\alpha}} \cdot \cos(\alpha) - C_{x_*}^{\bar{\alpha}} \cdot \sin(\alpha))} \cdot \left\{ m \cdot V \cdot \omega_z - P \cdot \sin(\alpha + \varphi_p) - \right. \\ \left. - q \cdot S \cdot \left[ C_{y_{cr}}(\alpha, \varphi) + C_{y}^{\bar{\omega}_z} \cdot \frac{b_A}{V} \cdot \omega_z + C_{y_{c.o.n}}(\alpha, x) \right] \cdot \cos(\alpha) + q \cdot S \cdot \left[ C_{x_{cr}}(\alpha, \varphi) + \right. \right. \\ \left. \left. + C_{x}^{\bar{\omega}_z} \cdot \frac{b_A}{V} \cdot \omega_z \right] \cdot \sin(\alpha) \right\} = \omega_z \cdot \eta - \xi \cdot \frac{\mu \cdot C_{y_a}^x}{\tau \cdot \mu_c} - \frac{\mu \cdot C_{y_{x_{cr}}}(\alpha, \varphi)}{\tau \cdot \mu_c} \quad (43)$$

Для получения выражения  $\dot{\omega}_z$  делаем подстановку

$$D_z = \frac{q \cdot S \cdot b_A}{I_z}; \quad m_{z_*}^K = m_{z_*}^{\bar{\alpha}} \cdot \eta + m_{z_*}^{\bar{\omega}_z} \quad (44)$$

вместе с (38), (43) в (26) и проводим соответствующие преобразования:

$$\dot{\omega}_z = \frac{q \cdot S \cdot b_A}{I_z} \cdot \left\{ m_{z_{cr}}(\alpha, \varphi) + m_{z_*}^{\bar{\alpha}} \cdot \frac{b_A}{V} \cdot F + m_{z_*}^{\bar{\omega}_z} \cdot \frac{b_A}{V} \cdot \omega_z + m_{z_{c.o.n}}(\alpha, x) \right\} = \\ = D_z \cdot \left\{ m_{z_{cr}}(\alpha, \varphi) - m_{z_*}^{\bar{\alpha}} \cdot \frac{C_{y_{x_{cr}}}(\alpha, \varphi)}{\mu_c} + \omega_z \cdot \frac{\tau}{\mu} \cdot m_{z_*}^K + \xi \cdot \left( m_z^x - \frac{m_{z_*}^{\bar{\alpha}} \cdot C_{y_a}^x}{\mu_c} \right) \right\} \quad (45)$$

Преобразуем выражение (39) с помощью подстановки (43), а также подстановок

$$N = -\frac{1}{\tau_1}; \quad K = -\frac{\tau_1 + \tau_2}{\tau_1} \cdot \frac{dx_0}{d\alpha} \quad (46)$$

$$\dot{\xi} = -\frac{1}{\tau_1} \cdot \xi - \frac{\tau_1 + \tau_2}{\tau_1} \cdot \frac{dx_0}{d\alpha} \cdot F = \left( N - \frac{K \cdot \mu}{\tau} \cdot \frac{C_{y_a}^x}{\mu_c} \right) \cdot \xi + K \cdot \eta \cdot \omega_z - \frac{K \cdot \mu}{\tau} \cdot \frac{C_{y_{x_{cr}}}(\alpha, \varphi)}{\mu_c} \quad (47)$$

С учетом (43), из (25), (45), (47) окончательно имеем уравнения опорного режима:

$$\dot{\alpha} = -\frac{\mu \cdot C_{y_{x_{cr}}}(\alpha, \varphi)}{\tau \cdot \mu_c} + \eta \cdot \omega_z - \frac{\mu \cdot C_{y_a}^x}{\tau \cdot \mu_c} \cdot \xi; \quad (48)$$

$$\dot{\omega}_z = D_z \cdot \left( m_{z_{cr}}(\alpha, \varphi) - m_{z_*}^{\bar{\alpha}} \cdot \frac{C_{y_{x_{cr}}}(\alpha, \varphi)}{\mu_c} \right) + D_z \cdot \frac{\tau}{\mu} \cdot m_{z_*}^K \cdot \omega_z + D_z \cdot \left( m_z^x - \frac{m_{z_*}^{\bar{\alpha}} \cdot C_{y_a}^x}{\mu_c} \right) \cdot \xi; \quad (49)$$

$$\dot{\xi} = -\frac{K \cdot \mu}{\tau} \cdot \frac{C_{y_{x_{cr}}}(\alpha, \varphi)}{\mu_c} + K \cdot \eta \cdot \omega_z + \left( N - \frac{K \cdot \mu \cdot C_{y_a}^x}{\tau \cdot \mu_c} \right) \cdot \xi \quad (50)$$

При нахождении возмущенной траектории в приращениях и линеаризации уравнений (48) – (50), будем принимать возмущения малыми и считать величины  $\mu_c$ ,  $\eta$ ,  $C_{y_a}^x$ ,  $K$  равными их

средним в окрестности  $\alpha = \alpha_0$  (опорного расчетного значения), т.е.  $\frac{\partial \mu_c}{\partial \alpha} = 0$ ,  $\frac{\partial \eta}{\partial \alpha} = 0$ ,  $\frac{\partial C_{ya}^x}{\partial \alpha} = 0$ ,

$\frac{\partial K}{\partial \alpha} = 0$ . При этом из (42):

$$\frac{\partial C_{yx_{cr}}(\alpha, \varphi)}{\partial \alpha} = c_p \cdot \cos(\alpha_0 + \varphi_p) + \frac{\partial C_{ya_{cr}}(\alpha, \varphi)}{\partial \alpha}. \quad (51)$$

Тогда коэффициенты матрицы  $A_3$  системы из трех уравнений в приращениях, соответствующие частным производным для выражений (48) – (50), равны:

$$\left. \begin{aligned} a_{311} &= \frac{\partial \dot{\alpha}}{\partial \alpha} = -\frac{\mu \cdot \frac{\partial C_{yx_{cr}}(\alpha, \varphi)}{\partial \alpha}}{\tau \cdot \mu_c}; & a_{312} &= \frac{\partial \dot{\alpha}}{\partial \omega_z} = \eta; & a_{313} &= \frac{\partial \dot{\alpha}}{\partial \xi} = -\frac{\mu \cdot C_{ya}^x}{\tau \cdot \mu_c}; \\ a_{321} &= \frac{\partial \dot{\omega}_z}{\partial \alpha} = D_z \cdot \left( \frac{\partial m_{z_{cr}}(\alpha, \varphi)}{\partial \alpha} - \frac{m_{z^*}^{\bar{\alpha}} \cdot \frac{\partial C_{yx_{cr}}(\alpha, \varphi)}{\partial \alpha}}{\mu_c} \right); & a_{322} &= \frac{\partial \dot{\omega}_z}{\partial \omega_z} = D_z \cdot \frac{\tau}{\mu} \cdot m_{z^*}^K; \\ a_{323} &= \frac{\partial \dot{\omega}_z}{\partial \xi} = D_z \cdot \left( m_z^x - \frac{m_{z^*}^{\bar{\alpha}} \cdot C_{ya}^x}{\mu_c} \right); & a_{331} &= \frac{\partial \dot{\xi}}{\partial \alpha} = -\frac{\mu \cdot K}{\tau \cdot \mu_c} \cdot \frac{\partial C_{yx_{cr}}(\alpha, \varphi)}{\partial \alpha}; \\ a_{332} &= \frac{\partial \dot{\xi}}{\partial \omega_z} = K \cdot \eta; & a_{333} &= \frac{\partial \dot{\xi}}{\partial \xi} = N - \frac{\mu \cdot K}{\tau \cdot \mu_c} \cdot C_{ya}^x. \end{aligned} \right\} \quad (52)$$

Характеристическое уравнение, соответствующее полученной матрице  $A_3$ :

$$\begin{vmatrix} (a_{311} - \lambda) & a_{312} & a_{313} \\ a_{321} & (a_{322} - \lambda) & a_{323} \\ a_{331} & a_{332} & (a_{333} - \lambda) \end{vmatrix} = 0.$$

$$\text{Откуда: } a_3 \cdot \lambda^3 + a_2 \cdot \lambda^2 + a_1 \cdot \lambda + a_0 = 0, \quad (53)$$

$$\text{где: } a_3 = 1; \quad (54)$$

$$a_2 = (-a_{311} - a_{322} - a_{333}); \quad (55)$$

$$a_1 = (-a_{321} \cdot a_{312} + a_{311} \cdot a_{333} - a_{331} \cdot a_{313} + a_{322} \cdot a_{333} + a_{311} \cdot a_{322} - a_{323} \cdot a_{332}); \quad (56)$$

$$a_0 = (-a_{311} \cdot a_{322} \cdot a_{333} + a_{331} \cdot a_{313} \cdot a_{322} + a_{321} \cdot a_{312} \cdot a_{333} + a_{311} \cdot a_{323} \cdot a_{332} - a_{331} \cdot a_{312} \cdot a_{323} - a_{321} \cdot a_{313} \cdot a_{332}). \quad (57)$$

По теореме Гурвица для устойчивости собственного движения с характеристическим уравнением 3-ей степени необходимо [8]:

$$\Delta_1 = a_2 > 0; \quad (58)$$

$$a_0 > 0; \quad (59)$$

$$\Delta_2 = a_1 \cdot a_2 - a_0 > 0 \quad (60)$$

Для условия (58) из (52), (55) имеем:

$$\frac{\mu \cdot \frac{\partial C_{yx_{cr}}(\alpha, \varphi)}{\partial \alpha}}{\tau \cdot \mu_c} - D_z \cdot \frac{\tau}{\mu} \cdot m_{z_*}^K + \frac{1}{\tau_1} + \frac{\mu \cdot K}{\tau \cdot \mu_c} \cdot C_{ya}^x > 0. \quad \text{Или (при безразмерных } Y_C, B_C):$$

$$Y_C = D_z \cdot \frac{\tau \cdot \tau_1}{\mu} \cdot m_{z_*}^K - \frac{\mu \cdot \tau_1}{\mu_c \cdot \tau} \cdot B_C < 1, \quad (61)$$

$$\text{где: } B_C = \frac{\partial C_{yx_{cr}}(\alpha, \varphi)}{\partial \alpha} + K \cdot C_{ya}^x. \quad (62)$$

Условие (59) называют [8] критерием аperiodической устойчивости. Для его нахождения подставим соответствующие выражения (52) в (57), после приведения подобных членов получаем:

$$a_0 = D_z \cdot N \cdot \left[ \frac{\frac{\partial C_{yx_{cr}}(\alpha, \varphi)}{\partial \alpha} \cdot m_{z_*}^{\bar{\omega}_z}}{\mu_c} + \eta \cdot \frac{\partial m_{z_{cr}}(\alpha, \varphi)}{\partial \alpha} \right]. \quad (63)$$

Обозначим безразмерное выражение в квадратных скобках, характеризующее (как [3], [8]) степень продольной аperiodической устойчивости для нестационарных аэродинамических характеристик, через  $(\sigma_{na}^H)$ . Так как  $D_z > 0$ ,  $N < 0$ , то из (59), (63) следует:

$$\sigma_{na}^H = \frac{m_{z_*}^{\bar{\omega}_z}}{\mu_c} \cdot \frac{\partial C_{yx_{cr}}(\alpha, \varphi)}{\partial \alpha} + \eta \cdot \frac{\partial m_{z_{cr}}(\alpha, \varphi)}{\partial \alpha} < 0. \quad (64)$$

Условие (60) является критерием колебательной устойчивости для характеристического уравнения 3-ей степени [8]. Найдем его, подставив соответствующие выражения (52) в (55) – (57) и далее в (60), а затем вынося за скобки  $D_z$  в соответствующей степени:

$$\Delta_2 = \frac{1}{\tau^2 \cdot \mu^2 \cdot \mu_c^2} \cdot (J_2 \cdot D_z^2 + J_1 \cdot D_z + J_0), \quad (65)$$

где:

$$J_2 = -\mu_c \cdot \left( \eta \cdot m_{z_*}^{\bar{\alpha}} + m_{z_*}^{\bar{\omega}_z} \right) \cdot \tau^3 \cdot \left( \mu_c \cdot N \cdot \tau \cdot \eta \cdot m_{z_*}^{\bar{\alpha}} - \eta \cdot \mu_c \cdot \mu \cdot \frac{\partial m_{z_{cr}}(\alpha, \varphi)}{\partial \alpha} - \eta \cdot \mu_c \cdot K \cdot \right. \\ \left. \cdot \mu \cdot m_z^x + \mu_c \cdot N \cdot m_{z_*}^{\bar{\omega}_z} \cdot \tau - m_{z_*}^{\bar{\omega}_z} \cdot K \cdot \mu \cdot C_{ya}^x - \frac{\partial C_{yx_{cr}}(\alpha, \varphi)}{\partial \alpha} \cdot m_{z_*}^{\bar{\omega}_z} \cdot \mu \right); \quad (66)$$

$$J_1 = -\mu \cdot \tau \cdot \left( \mu^2 \cdot \eta \cdot \mu_c \cdot \frac{\partial m_{z_{cr}}(\alpha, \varphi)}{\partial \alpha} \cdot K \cdot C_{ya}^x + \mu^2 \cdot \eta \cdot \mu_c \cdot \frac{\partial m_{z_{cr}}(\alpha, \varphi)}{\partial \alpha} \cdot \frac{\partial C_{yx_{cr}}(\alpha, \varphi)}{\partial \alpha} + \mu^2 \cdot K \cdot \right. \\ \left. \cdot \eta \cdot \mu_c \cdot m_z^x \cdot \frac{\partial C_{yx_{cr}}(\alpha, \varphi)}{\partial \alpha} + \mu^2 \cdot \left( \frac{\partial C_{yx_{cr}}(\alpha, \varphi)}{\partial \alpha} \right)^2 \cdot m_{z_*}^{\bar{\omega}_z} + \mu^2 \cdot K^2 \cdot \eta \cdot \mu_c \cdot m_z^x \cdot C_{ya}^x + \mu^2 \cdot m_{z_*}^{\bar{\omega}_z} \cdot \right. \\ \left. \cdot K^2 \cdot (C_{ya}^x)^2 + 2 \cdot \mu^2 \cdot m_{z_*}^{\bar{\omega}_z} \cdot K \cdot C_{ya}^x \cdot \frac{\partial C_{yx_{cr}}(\alpha, \varphi)}{\partial \alpha} - 2 \cdot \mu \cdot \tau \cdot \frac{\partial C_{yx_{cr}}(\alpha, \varphi)}{\partial \alpha} \cdot N \cdot \mu_c \cdot m_{z_*}^{\bar{\alpha}} \cdot \eta - \right. \\ \left. \cdot \mu_c \cdot \left( \eta \cdot m_{z_*}^{\bar{\alpha}} + m_{z_*}^{\bar{\omega}_z} \right) \cdot \tau \cdot \eta \cdot m_{z_*}^{\bar{\alpha}} \right); \quad (67)$$

$$\begin{aligned}
& -\mu \cdot \tau \cdot \mu_c \cdot m_{z_*}^{\bar{\alpha}} \cdot \eta \cdot N \cdot K \cdot C_{ya}^x - \mu \cdot \tau \cdot K \cdot \eta \cdot (\mu_c)^2 \cdot m_z^x \cdot N - 2 \cdot \mu \cdot \tau \cdot \mu_c \cdot m_{z_*}^{\bar{\alpha}} \cdot N \cdot K \cdot C_{ya}^x - \\
& - 2 \cdot \mu \cdot \tau \cdot \frac{\partial C_{yx_{cr}}(\alpha, \varphi)}{\partial \alpha} \cdot N \cdot \mu_c \cdot m_{z_*}^{\bar{\alpha}} + \tau^2 \cdot (\mu_c)^2 \cdot m_{z_*}^{\bar{\alpha}} \cdot \eta \cdot N^2 + \tau^2 \cdot (\mu_c)^2 \cdot m_{z_*}^{\bar{\alpha}} \cdot N^2 \Big); \\
J_0 &= \mu^3 \cdot N \cdot \frac{\partial C_{yx_{cr}}(\alpha, \varphi)}{\partial \alpha} \cdot \left( -\mu \cdot \frac{\partial C_{yx_{cr}}(\alpha, \varphi)}{\partial \alpha} - \mu \cdot K \cdot C_{ya}^x + \tau \cdot \mu_c \cdot N \right). \quad (68)
\end{aligned}$$

Группируя по (44) и приводя подобные члены из (66), получаем:

$$\begin{aligned}
J_2 &= \mu_c^2 \cdot m_{z_*}^K \cdot \tau^3 \cdot \left[ -N \cdot \tau \cdot m_{z_*}^K + \mu \cdot \eta \cdot \left( \frac{\partial m_{z_{cr}}(\alpha, \varphi)}{\partial \alpha} + K \cdot m_z^x \right) + m_{z_*}^{\bar{\alpha}} \cdot \frac{\mu}{\mu_c} \cdot \right. \\
& \cdot \left. \left( K \cdot C_{ya}^x + \frac{\partial C_{yx_{cr}}(\alpha, \varphi)}{\partial \alpha} \right) \right]. \quad (69)
\end{aligned}$$

$$\begin{aligned}
& \text{Обозначим } A_C = \frac{\partial m_{z_{cr}}(\alpha, \varphi)}{\partial \alpha} + K \cdot m_z^x; \quad U_C = \mu \cdot \eta \cdot A_C + m_{z_*}^{\bar{\alpha}} \cdot \frac{\mu}{\mu_c} \cdot B_C; \quad W_C = -N \cdot \tau \cdot m_{z_*}^K + U_C; \\
R_C &= K \cdot C_{ya}^x \cdot \frac{m_{z_*}^{\bar{\alpha}}}{m_{z_*}^K} + \frac{\partial C_{yx_{cr}}(\alpha, \varphi)}{\partial \alpha} + K \cdot \eta \cdot \mu_c \cdot \frac{m_z^x}{m_{z_*}^K} - \frac{\tau \cdot N \cdot \mu_c}{\mu}. \quad (70)
\end{aligned}$$

$$\text{Тогда: } J_2 = \mu_c^2 \cdot m_{z_*}^K \cdot \tau^3 \cdot W_C; \quad (71)$$

Проведя группировки по (44) и имея в виду обозначения (62), (70), преобразуем (67), (68):

$$\begin{aligned}
J_1 &= -\mu^2 \cdot \mu_c \cdot \tau \cdot \left[ B_C \cdot U_C - \tau \cdot N \cdot m_{z_*}^K \cdot \left( K \cdot C_{ya}^x + K \cdot C_{ya}^x \cdot \frac{m_{z_*}^{\bar{\alpha}}}{m_{z_*}^K} + 2 \frac{\partial C_{yx_{cr}}(\alpha, \varphi)}{\partial \alpha} + \right. \right. \\
& \left. \left. + K \cdot \eta \cdot \mu_c \cdot \frac{m_z^x}{m_{z_*}^K} - \frac{\tau \cdot N \cdot \mu_c}{\mu} \right) \right] = -\mu^2 \cdot \mu_c \cdot \tau \cdot (B_C \cdot U_C - \tau \cdot N \cdot m_{z_*}^K \cdot B_C - \tau \cdot N \cdot m_{z_*}^K \cdot R_C) = \quad (72) \\
& = -\mu^2 \cdot \mu_c \cdot \tau \cdot (B_C \cdot W_C - \tau \cdot N \cdot m_{z_*}^K \cdot R_C).
\end{aligned}$$

$$J_0 = -\mu_c \cdot \mu^3 \cdot N \cdot \frac{\partial C_{yx_{cr}}(\alpha, \varphi)}{\partial \alpha} \cdot \left( \frac{\mu}{\mu_c} \cdot B_C - \tau \cdot N \right). \quad (73)$$

Выражения (71) – (73) подставляем в (65) и преобразуем с обозначением (61):

$$\begin{aligned}
\Delta_2 &= \frac{1}{\tau^2 \cdot \mu^2 \cdot \mu_c^2} \cdot \left[ \mu_c^2 \cdot m_{z_*}^K \cdot \tau^3 \cdot W_C \cdot D_z^2 - \mu^2 \cdot \mu_c \cdot \tau \cdot B_C \cdot W_C \cdot D_z + \mu^2 \cdot \mu_c \cdot \tau^2 \cdot N \cdot \right. \\
& m_{z_*}^K \cdot D_z \cdot R_C - \mu_c \cdot \mu^3 \cdot N \cdot \frac{\partial C_{yx_{cr}}(\alpha, \varphi)}{\partial \alpha} \cdot \left( \frac{\mu}{\mu_c} \cdot B_C - \tau \cdot N \right) \Big] = \frac{1}{\tau^2 \cdot \mu^2 \cdot \mu_c^2} \cdot \left[ \mu \cdot \mu_c^2 \cdot \frac{\tau^2}{\tau_1} \cdot \right. \\
& \cdot W_C \cdot D_z \cdot Y_C - \frac{\mu^2 \cdot \mu_c \cdot \tau^2 \cdot m_{z_*}^K \cdot D_z}{\tau_1} \cdot R_C + \frac{\mu_c \cdot \mu^3}{\tau_1} \cdot \frac{\partial C_{yx_{cr}}(\alpha, \varphi)}{\partial \alpha} \cdot \left( \frac{\mu}{\mu_c} \cdot B_C - \tau \cdot N \right) \Big] = \\
& = \frac{D_z}{\tau_1} \cdot \left[ \frac{W_C}{\mu} \cdot Y_C - \frac{m_{z_*}^K}{\mu_c} \cdot R_C + \frac{\mu}{\tau^2 \cdot D_z \cdot \mu_c} \cdot \frac{\partial C_{yx_{cr}}(\alpha, \varphi)}{\partial \alpha} \cdot \left( \frac{\mu}{\mu_c} \cdot B_C - \tau \cdot N \right) \right]. \quad (74)
\end{aligned}$$

Соблюдая неравенство (60), делим (74) на положительный коэффициент перед квадратными скобками и раскрываем выражения  $R_C$  (70),  $N$  (46):

$$\frac{W_C}{\mu} \cdot Y_C - \frac{K \cdot C_{ya}^x}{\mu_c} \cdot m_{z^*}^{\bar{\omega}_z} - \frac{\partial C_{yx_{cr}}(\alpha, \varphi)}{\partial \alpha} \cdot \frac{m_{z^*}^K}{\mu_c} - K \cdot \eta \cdot m_z^x - \frac{\tau}{\tau_1 \cdot \mu} \cdot m_{z^*}^K + \frac{\mu}{\mu_c \cdot D_z \cdot \tau^2} \cdot \frac{\partial C_{yx_{cr}}(\alpha, \varphi)}{\partial \alpha} \cdot \left( \frac{\mu}{\mu_c} \cdot B_C + \frac{\tau}{\tau_1} \right) > 0.$$

Выносим за скобки  $\frac{\partial C_{yx_{cr}}(\alpha, \varphi)}{\partial \alpha}$ , имея в виду (61):

$$\frac{W_C}{\mu} \cdot Y_C - \frac{K \cdot C_{ya}^x}{\mu_c} \cdot m_{z^*}^{\bar{\omega}_z} - K \cdot \eta \cdot m_z^x - \frac{\tau}{\tau_1 \cdot \mu} \cdot m_{z^*}^K + \frac{\partial C_{yx_{cr}}(\alpha, \varphi)}{\partial \alpha} \cdot \frac{\mu}{\mu_c \cdot D_z \cdot \tau \cdot \tau_1} \cdot (1 - Y_C) > 0. \quad (75)$$

Назовем безразмерное выражение левой части неравенства (75) степенью продольной колебательной устойчивости ( $\sigma_{нк}^H$ ), которая с использованием (61), (62), (64), (70), имеет вид:

$$\sigma_{нк}^H = Y_C \cdot \sigma_{на}^H + (Y_C - 1) \cdot \left( \frac{\tau \cdot m_{z^*}^K}{\tau_1 \cdot \mu} + K \cdot \eta \cdot m_z^x + K \cdot C_{ya}^x \frac{m_{z^*}^{\bar{\omega}_z}}{\mu_c} - \frac{\mu}{\mu_c \cdot D_z \cdot \tau_1 \cdot \tau} \cdot \frac{\partial C_{yx_{cr}}(\alpha, \varphi)}{\partial \alpha} \right) =$$

$$= Y_C \cdot \left( \sigma_{на}^H + \frac{Y_C - 1}{D_z \cdot \tau_1^2} \right) + (Y_C - 1) \cdot K \cdot \left[ \frac{C_{ya}^x}{\mu_c} \left( \frac{\mu}{D_z \cdot \tau_1 \cdot \tau} + m_{z^*}^{\bar{\omega}_z} \right) + \eta \cdot m_z^x \right] > 0 \quad (76)$$

В заключение на рис. 16 показаны графики изменения параметров  $Y_C$ ,  $\sigma_{на}^H$ ,  $\sigma_{нк}^H$  при движении рис. 7 (с изменением начального угла  $\alpha(0) = 6.5^\circ$ ). Как указано выше, начальный участок ( $t \approx 0$ ) соответствует неустойчивому движению, и  $\sigma_{на}^H > 0$  (не отвечает критерию устойчивости (64)). Конечный участок ( $t > 35$  с) – устойчивое движение, и параметры  $Y_C < 1$ ,  $\sigma_{на}^H < 0$ ,  $\sigma_{нк}^H > 0$  соответствуют критериям устойчивости (61), (64), (76).

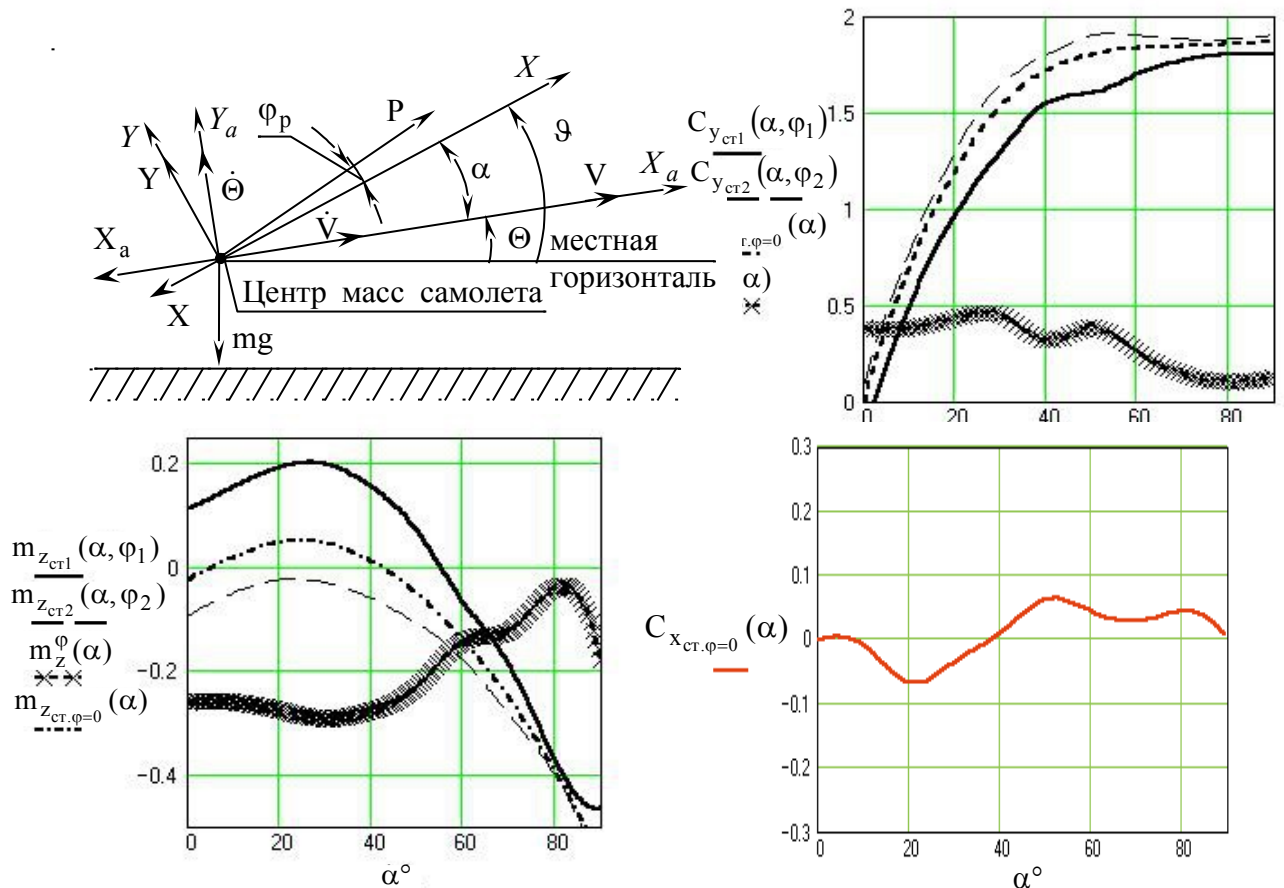


Рис. 3

Рис. 4

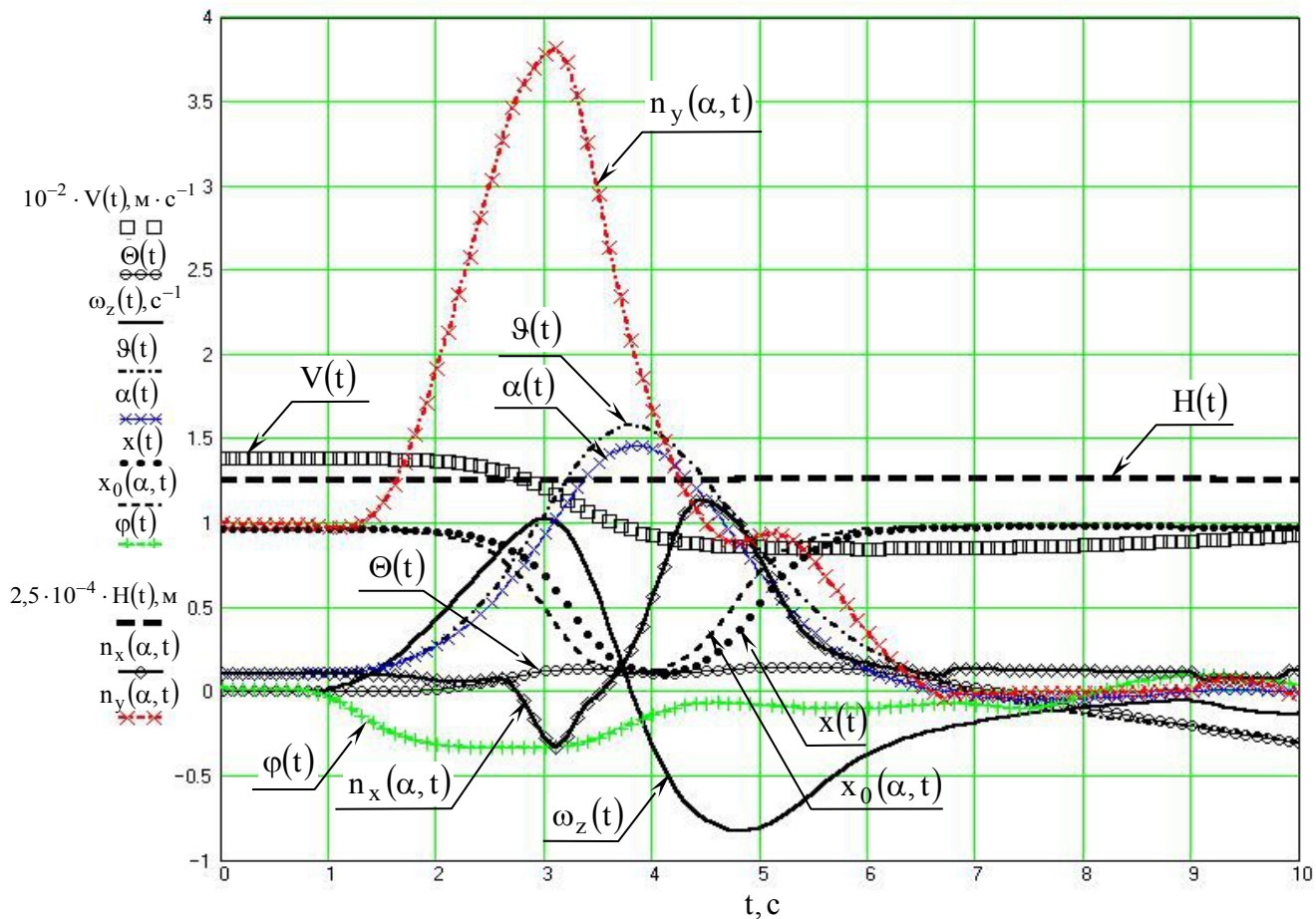
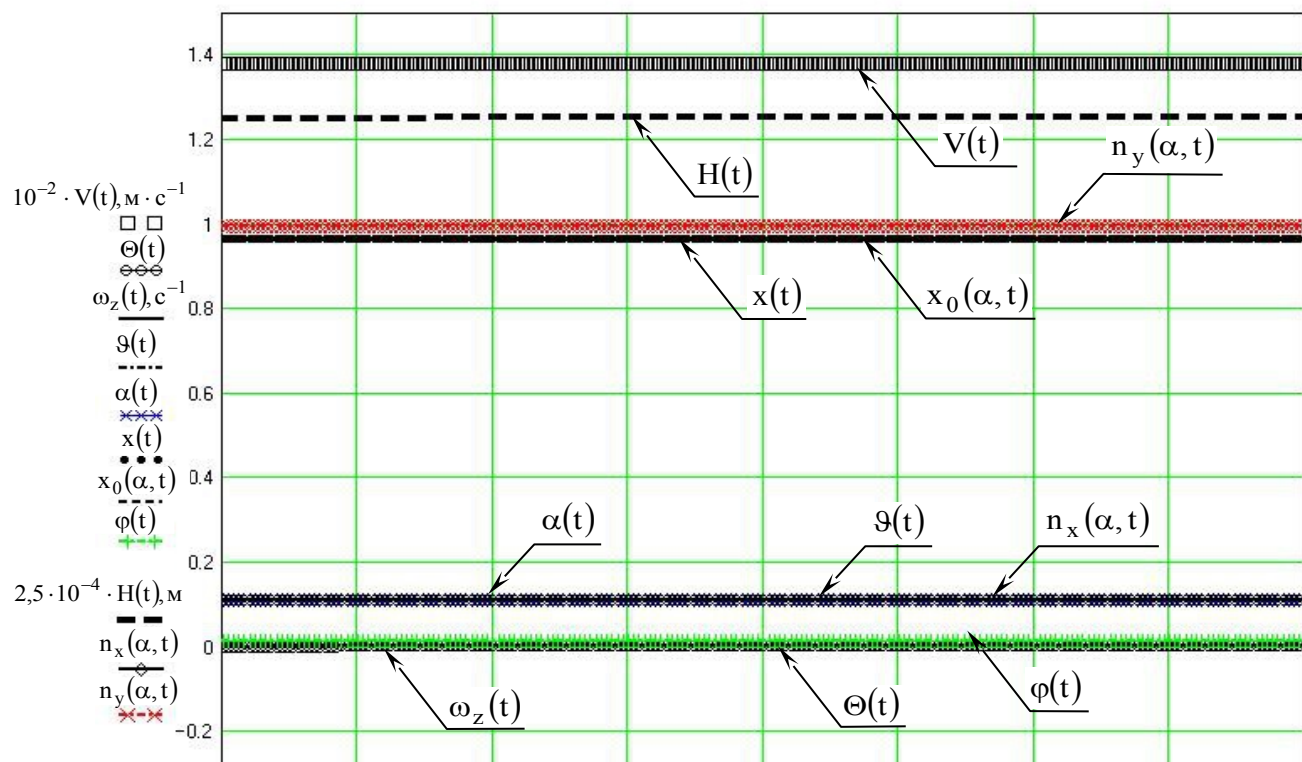


Рис.6

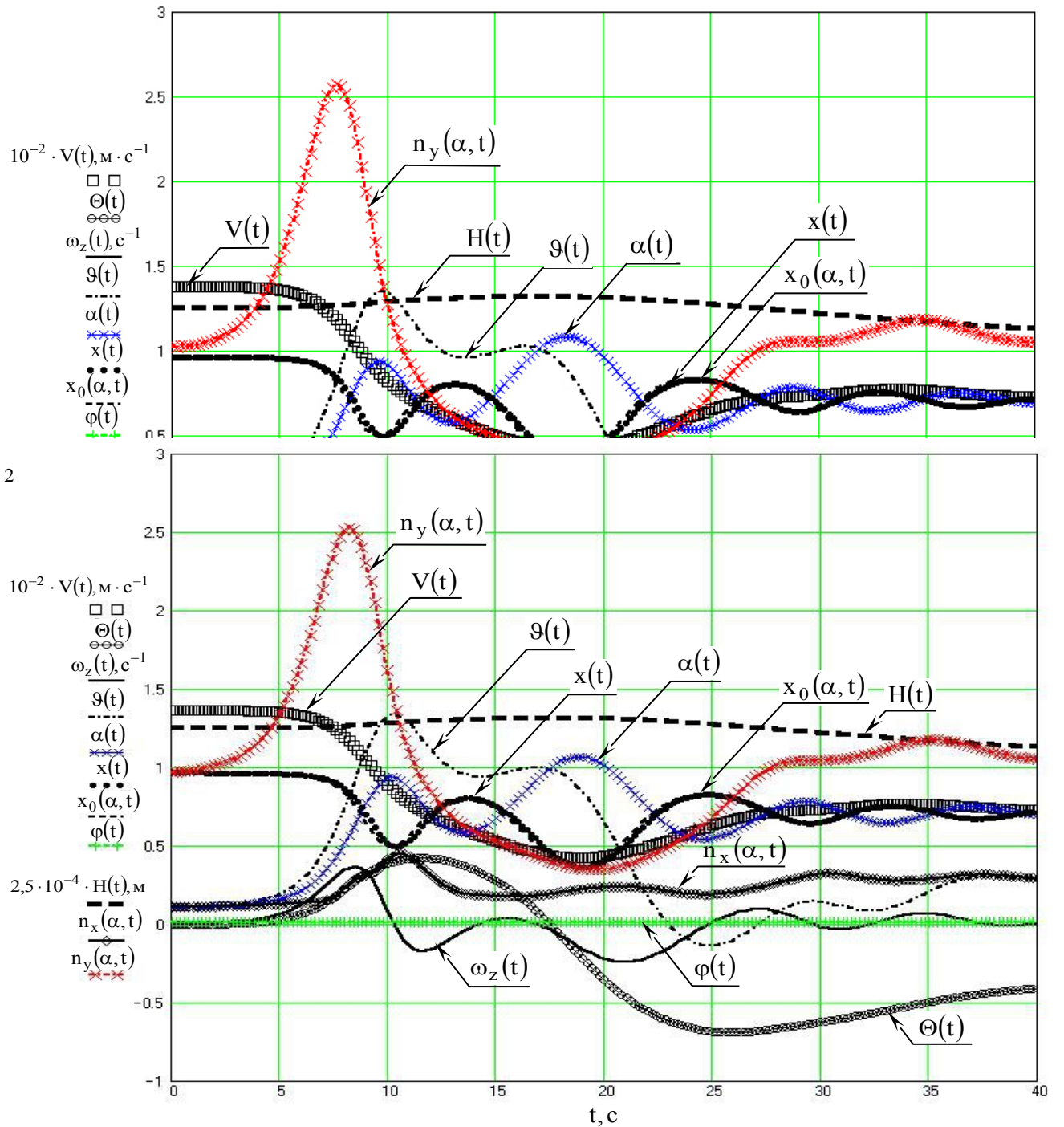


Рис.8

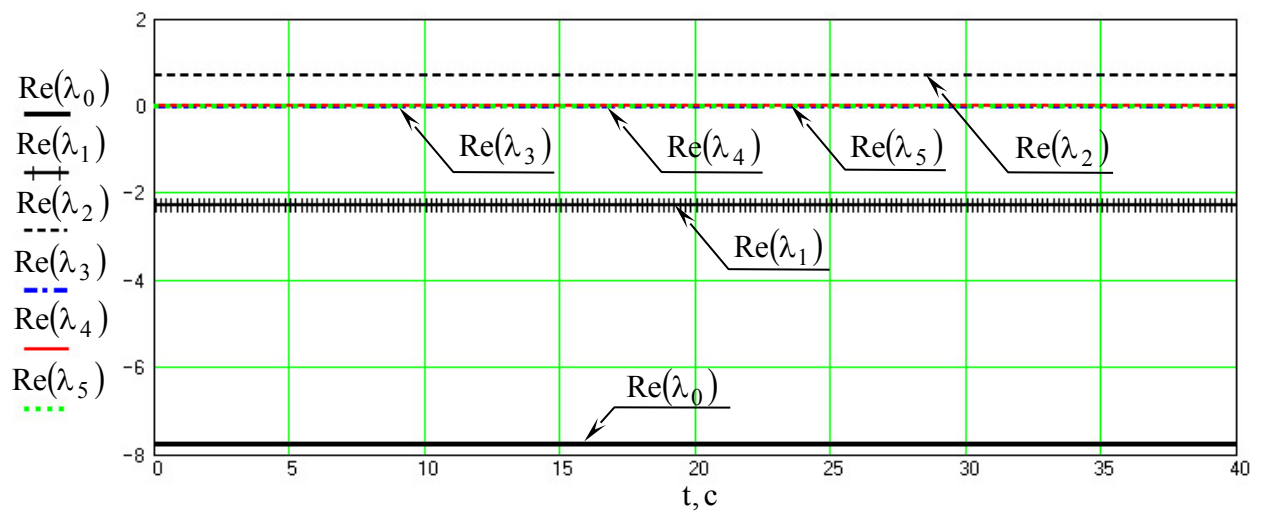


Рис. 9

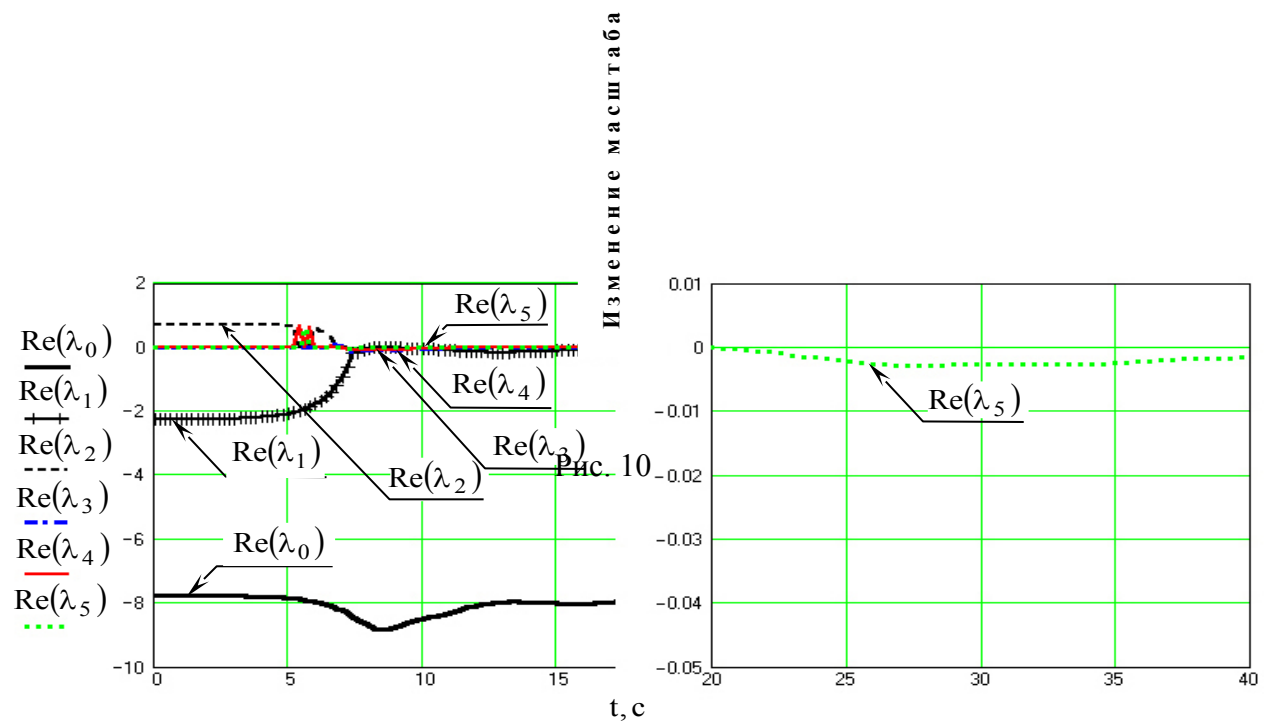


Рис. 11

ниж масштаб

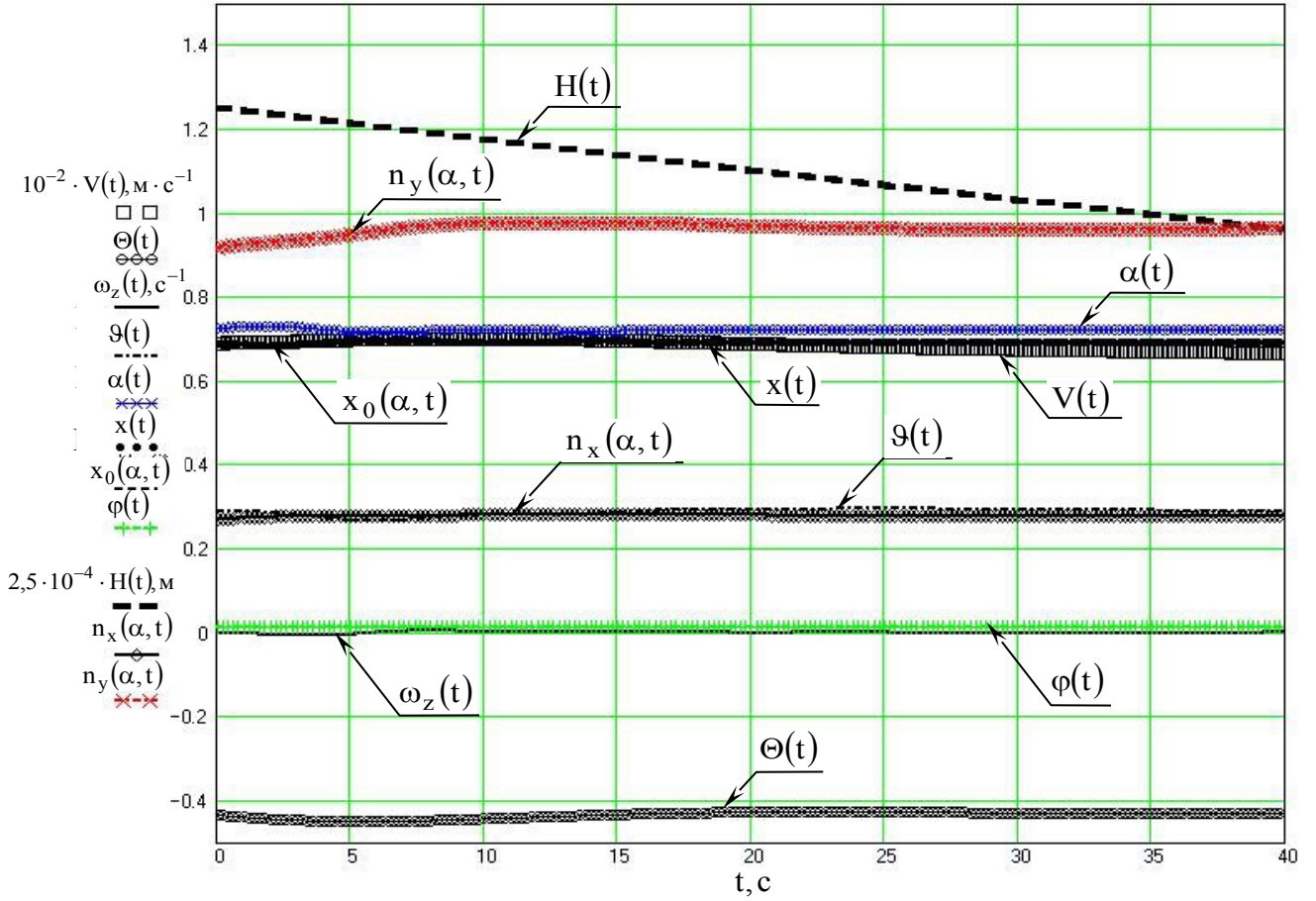


Рис. 12

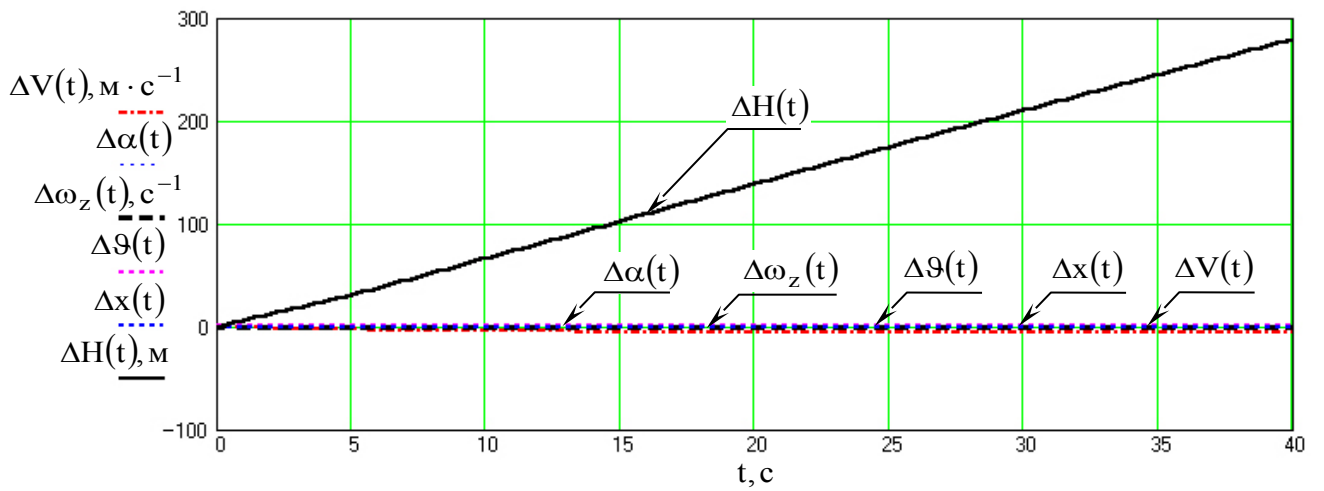


Рис. 13

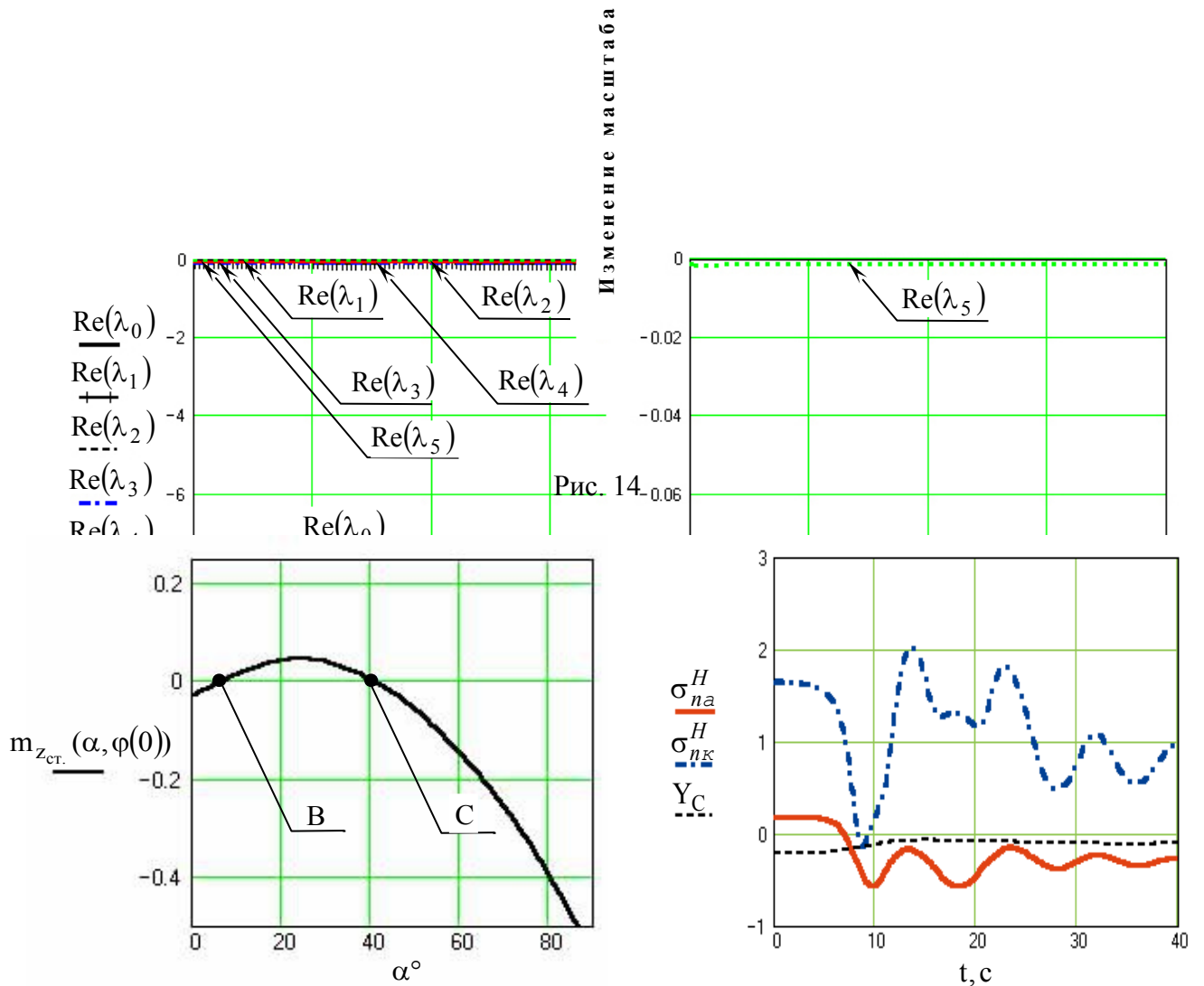


Рис. 15

Рис. 16

### Список литературы

1. Аэродинамика, устойчивость и управляемость сверхзвуковых самолетов. /Под редакцией Бюшгенса Г. С. – М.: Наука, 1998. – 816 с.
2. Гоман М. Г., Столяров Г. И., Тартышников С. Л., Усольцев С. П., Храбров А.Н. Описание продольных аэродинамических характеристик самолета на больших углах атаки с учетом динамических эффектов отрывного обтекания. – Препринт ЦАГИ № 9. – 1990. – 56 с.
3. Васильченко К. К., Леонов В. А., Пашковский И. М., Поплавский Б. К. Лётные испытания самолётов. – М.: Машиностроение, 1996. – 720 с.
4. Захаров М. А. Математическая модель коэффициентов аэродинамических характеристик в продольном движении летательного аппарата на больших углах атаки с учетом эффектов от-

рывного обтекания. //Электронный журнал "Труды МАИ", вып. 9. – <http://www.mai.ru> (04.07.02).

5. Егер С. М., Матвеев А. М., Шаталов И. А. Основы авиационной техники. /Под ред. И. А. Шаталова. – М.: МАИ, 1999. – 576 с.
6. Захаров М. А. Нестационарные составляющие коэффициентов нормальной силы и момента тангажа самолета, обусловленные горизонтальным оперением. //Электронный журнал "Труды МАИ", вып. 11. – <http://www.mai.ru> (11.04.03).
7. Васильченко К.К., Вид В.И., Волк И.П., Заборов В.П., Лобас Л.Д., Мандельбаум Ю.В., Четвергов В.Н. Летные исследования маневренного самолета на больших и сверхбольших углах атаки. //ТВФ. – 1992, № 2. – с. 10-19.
8. Аэромеханика самолета. /Под ред. А. Ф. Бочкарева. – М.: Машиностроение, 1985. – 416 с.
9. Воротников В. И., Румянцев В. В. Устойчивость и управление по части координат фазового вектора динамических систем: теория, методы и приложения. - М.: Научный мир, 2001. – 320 с.
10. Горбатенко С. А., Макашов Э. М., Полушкин Ю. Ф., Шефтель Л. В. Расчет и анализ движения летательных аппаратов. Инженерный справочник. – М.: Машиностроение, 1971. – 352 с.

---

*Захаров Михаил Александрович, аспирант кафедры динамики и управления летательных аппаратов Московского авиационного института (государственного технического университета).*

*Леонов Владимир Артемиевич, профессор кафедры динамики и управления летательных аппаратов Московского авиационного института (государственного технического университета), к.т.н.*